05

Симметрия локального окружения атомов германия в аморфных пленках $Ge_2Sb_2Te_5$

© А.В. Марченко 1 , Е.И. Теруков 2,3 , Ф.С. Насрединов 4 , Ю.А. Петрушин 1 , П.П. Серегин 1

- ¹ Российский государственный педагогический университет им. А.И. Герцена, Санкт-Петербург, Россия
- ² ФТИ им. А.Ф. Иоффе, Санкт-Петербург, Россия
- ³ Санкт-Петербургский государственный электротехнический университет "ЛЭТИ", Санкт-Петербург, Россия
- ⁴ Санкт-Петербургский политехнический университет Петра Великого, Санкт-Петербург, Россия E-mail: ppseregin@mail.ru

Поступило в Редакцию 2 декабря 2024 г. В окончательной редакции 2 декабря 2024 г. Принято к публикации 30 декабря 2024 г.

Методом мессбауэровской спектроскопии на изотопе 73 Ge продемонстрирована тетраэдрическая симметрия локального окружения атомов германия в аморфных пленках $Ge_2Sb_2Te_5$.

Ключевые слова: фазовая память, $Ge_2Sb_2Te_5$, мессбауэровская спектроскопия.

DOI: 10.61011/PJTF.2025.09.60224.20206

Материалы с фазовым переходом на основе халькогенидных сплавов $Ge_2Sb_2Te_5$ (GST) широко используются для хранения и кодирования данных. Для разработки новых материалов, соответствующих требованиям высокой плотности и миниатюризации запоминающих устройств, необходимо понимание деталей их микроструктуры и связанных с ними искажений как в кристаллическом, так и в аморфном состоянии.

Колобов и др. [1] на основе исследования методом спектроскопии тонкой структуры поглощения рентгеновских лучей (EXAFS) считали, что аморфизация сплава GST под действием лазерного излучения сопровождается скачком атома германия из октаэдрических позиций, занятых в кристалле, в тетраэдрические позиции, причем в обеих фазах атомы Ge и Sb связаны только с атомами Те. Baker и др. [2], исследуя тем же методом аморфный GST, полученный напылением, обнаружили значительную долю связей Ge-Ge в дополнение к обычным связям Ge-Te. Caravati и Bernasconi [3], основываясь на результатах моделирования из первых принципов аморфного GST, полученного закалкой из жидкой фазы, выяснили, что в его структуре одна треть атомов Ge находится в тетраэдрическом окружении, в то время как оставшиеся атомы Ge, Sb и Te имеют дефектное октаэдрическое окружение, напоминающее окружение этих атомов в кристаллическом GST. Liu и др. [4] с помощью просвечивающей электронной микроскопии высокого разрешения и дифракции рентгеновских лучей продемонстрировали сосуществование в структуре кристаллического GST октаэдрических и тетраэдрических координированных катионов германия, причем доля тетраэдрического Ge от общего количества Ge составляет для разных образцов от 0.32 до 0.37. Авторы [5], используя принципы молекулярной динамики в рамках теории функционала плотности, получили, что в структуре стеклообразного GST атомы Ge находятся в тетраэдрической сетке, хотя немалая часть атомов Ge также обнаруживается в дефектных октаэдрах, причем тетраэдры явно преобладают. Наконец, в работе Hosokawa и др. [6] по аномальному рассеянию ренттеновских лучей было обнаружено, что примерно половина атомов Ge имеет в аморфной фазе GST октаэдрическое окружение, аналогичное таковому в кристалле, а оставшаяся часть атомов Ge с тетраэдрической симметрией действует как энергетический барьер между фазами, обеспечивая длительное время жизни аморфной фазы GST.

Имеющиеся противоречия в интерпретации экспериментальных результатов указывают на необходимость использования экспериментальных методов более чувствительных к незначительным изменениям электронной структуры атомов во время фазового перехода из аморфного в кристаллическое состояние. Эффективным инструментом обнаружения изменений в локальном окружении атомов и их электронной структуры при аморфизации соединения Ge₂Sb₂Te₅ оказалась мессбауэровская спектроскопия (MC) на изотопах ¹²⁵Te, ¹²¹Sb и ¹¹⁹Sn [7]. В частности, мессбауэровское исследование на примесном зонде ¹¹⁹Sn позволило сделать вывод об изменении симметрии локального окружения атомов германия в процессе перехода кристалл-аморфное состояние в сплаве Ge₂Sb₂Te₅. Однако этот вывод базировался на предположениях об изовалентном замещении атомов германия атомами олова в кристаллических и аморфных пленках.

Именно поэтому представлялось целесообразным провести исследование локальной структуры ближнего окружения атомов германия в аморфных пленках сплава $Ge_2Sb_2Te_5$, используя МС на атомах ^{73}Ge . Однако следует отметить, что, несмотря на принципиально большие возможности МС на изотопе ^{73}Ge для исследований подобного рода, общее число публикаций об этом изотопе невелико из-за проблем, связанных с трудностями

регистрации различных валентных состояний германия в одном экспериментальном спектре.

Pfeiffer и Kovacs провели первую калибровку изомерного сдвига спектров ⁷³Ge, используя источник Ge:⁷³As и монокристаллический поглотитель ⁷³Ge [8]. Позже Pfeiffer и др. [9] наблюдали эффект Мессбауэра для ядер ⁷³Ge, введенных в узлы решеток монокристаллов Si и Ge в процессе лазерного облучения, и пришли к выводу, что изомерный сдвиг спектра Si:73As относительно спектра Ge:⁷³As настолько велик, что ставит под сомнение их собственную калибровку изомерного сдвига ⁷³ Ge, проведенную в [8]. В связи с этим Svane [10] рассчитал электронные плотности на ядрах Ge в узлах кристаллов Ge и Si и, использовав экспериментальные изомерные сдвиги из [9], получил для изомерного перехода 13.3 keV в ⁷³Ge калибровочный коэффициент $\alpha = 0.74 \,\mathrm{mm \cdot s^{-1}} \cdot a_0^3$, где a_0 — боровский радиус. Этот результат позволяет надеяться на рекордную чувствительность положения спектральной линии 73Ge к малым изменениям электронной структуры.

Однако при вычислении коэффициента α в [10] значение изомерного сдвига Si:⁷³As относительно Ge:⁷³As принято равным IS = $-685\,\mu\text{m/s}$, хотя в работе [9] приводится значение противоположного знака. Это создало дополнительный мотив для нашего исследования локальной структуры ближнего окружения атомов германия в аморфных пленках сплава Ge₂Sb₂Te₅, и при обсуждении наших результатов мы будем использовать оба знака IS.

Соединение $Ge_2Sb_2Te_5$ синтезировалось из элементарных веществ в вакуумированных до 10^{-3} mm Hg кварцевых ампулах при $1050\,^{\circ}$ C. При синтезе использовался изотоп 73 Ge с обогащением $\sim 70\,^{\circ}$ M. Рентгеноаморфные пленки $Ge_2Sb_2Te_5$ толщиной $20\,\mu$ m были получены методом магнетронного распыления синтезированных поликристаллических образцов на постоянном токе в атмосфере азота на подложки из алюминиевой фольги. Затем пленки отжигали в интервале температур $150-200\,^{\circ}$ C для получения поликристаллических образцов. Состав пленок контролировался методом рентгенофлуоресцентного анализа.

Радиоактивный изотоп 73 As для приготовления мессбауэровского источника получали по реакции 74 Ge(p, 2n) 73 As. Мессбауэровские источники Ge: 73 As готовили на основе монокристаллической пленки Ge (диффузия 73 As в потоке водорода при $800\,^{\circ}$ C в течение $20\,h$). Мессбауэровские спектры измерялись на спектрометре CM 4201 TerLab при 295 K.

Мессбауэровские спектры аморфной и поликристаллической пленок $Ge_2Sb_2Te_5$ представлены на рис. 1. Видно, что в эксперименте оказалось возможным в выбранном диапазоне допплеровских скоростей зарегистрировать только спектр аморфного поглотителя с изомерным сдвигом $-95(15)\,\mu\text{m/s}$ относительно источника $Ge;^{73}As$.

Таким образом, ожидаемое преимущество высокой чувствительности МС на изотопе ⁷³Ge к изменениям

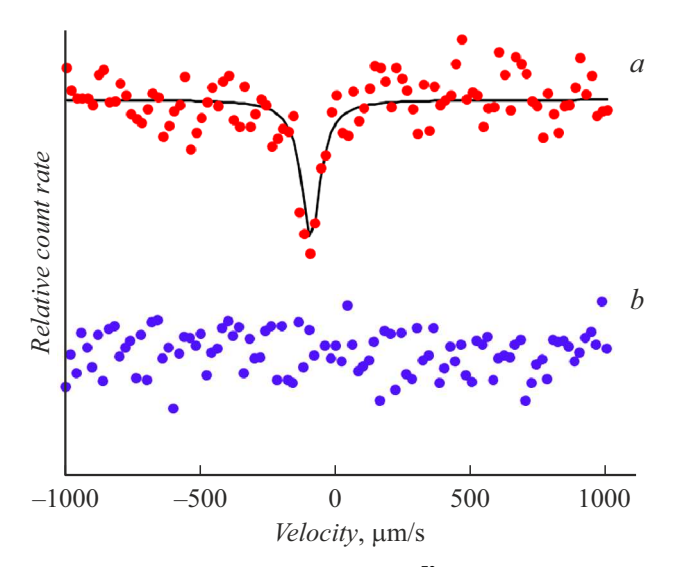


Рис. 1. Мессбауэровские спектры 73 Ge аморфной (a) и поликристаллической (b) пленок $\mathrm{Ge_2Sb_2Te_5}$ при $295\,\mathrm{K}$ с источником $\mathrm{Ge:}^{73}\mathrm{As.}$

электронной структуры обернулось экспериментальными затруднениями. Однако тот факт, что с источником Ge^{73} As регистрируется только спектр аморфного поглотителя, свидетельствует о близости электронных структур атомов 73 Ge в монокристаллическом германии (атомы имеют тетраэдрическую систему химических связей) и в аморфном сплаве $Ge_2Sb_2Te_5$. Это подтверждает сделанный на основе данных MC на примесных атомах 119 Sn вывод о стабилизации атомов германия в аморфном сплаве $Ge_2Sb_2Te_5$ в тетраэдрической координации [7]. Он же косвенно подтверждает вывод [7] о существенном отличии ближайшего окружения и, следовательно, электронных структур атомов Ge в кристаллических и аморфных пленках $Ge_2Sb_2Te_5$.

Для оценки возможного положения спектра ⁷³Ge в кристаллической пленке и для совместной интерпретации результатов МС на изотопах ⁷³Ge и ¹¹⁹Sn была предпринята попытка установить корреляционные соотношения между изомерными сдвигами обоих мессбауэровских изотопов. Предпосылкой к их поиску являются расчеты электронных плотностей на ядрах примесей Ge и Sn в одних и тех же матрицах, которые показывают линейную корреляцию между этими величинами [10].

На рис. 2 эти данные нанесены на график в координатах изомерный сдвиг $^{73}{\rm Ge}$ (относительно кристаллического Ge) ${\rm IS_{Ge}}$ –изомерный сдвиг $^{119}{\rm Sn}$ (относительно $\alpha\text{-Sn})$ ${\rm IS_{Sn}}$ в матрицах кремния, германия и меди. Экспериментальные данные для $^{73}{\rm Ge}$ взяты из [8,9] а для $^{119}{\rm Sn}$ — из [11]. При этом значения изомерного сдвига $^{73}{\rm Ge}$ в Si помещены на график с обоими знаками (как обсуждалось выше). Они могут быть аппроксимированы двумя линейными функциями

$$IS_{Ge} [\mu m/s] = 2309 IS_{Sn} [mm/s] + 43.3,$$
 (1)

$$IS_{Ge} [\mu m/s] = -2583 IS_{Sn} [mm/s] - 152.4.$$
 (2)

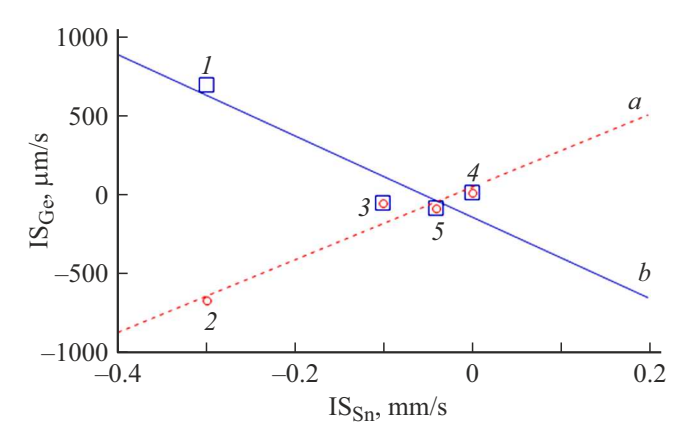


Рис. 2. Соотношения между изомерными сдвигами мессбауэровских спектров атомов $^{119}{\rm Sn}$ (IS $_{\rm Sn}$) и $^{73}{\rm Ge}$ (IS $_{\rm Ge}$) в монокристаллических кремнии (*1, 2*), меди (*3*), германии (*5*) и в аморфной пленке ${\rm Ge}_2{\rm Sb}_2{\rm Te}_5$ (*4*) для IS $_{\rm Ge}$ в Si, равного $-685\,\mu{\rm m/s}$ (прямая *a*) и $+685\,\mu{\rm m/s}$ (прямая *b*). Экспериментальные данные для $^{73}{\rm Ge}$ взяты из [8,9], для $^{119}{\rm Sn}$ — из [11].

Прямая a соответствует соотношению (2) и изомерному сдвигу 73 Ge в Si IS_{Ge} = $-685\,\mu$ m/s, а прямая b — соотношению (1) и изомерному сдвигу 73 Ge в Si IS_{Ge} = $+685\,\mu$ m/s.

Оба соотношения — (1) и (2) — при подстановке в них значения изомерного сдвига мессбауэровского спектра 119 Sn для поликристаллической пленки $IS_{Sn}=1.5$ mm/s [7] дают одинаковое по абсолютной величине значение изомерного сдвига мессбауэровского спектра 73 Ge для этой пленки: $IS_{Ge}\sim 3.6$ mm/s. При этом (1) приводит к его положительному знаку, а (2) — к отрицательному.

Таким образом, выбор одного из соотношений (1) или (2) не имеет принципиального значения для оценки диапазона предполагаемых положений спектра ⁷³Ge в кристаллической пленке Ge₂Sb₂Te₅. Однако он может быть важен при определении ядерных характеристик ⁷³Ge. Svane [10] принял изомерный сдвиг ⁷³Ge в Si равным $-685 \,\mu\text{m/s}$, что соответствует соотношению (2), и получил относительное изменение зарядового радиуса при переходе на уровень $13.3 \, \text{keV} \, \Delta R/R = 1.7 \cdot 10^{-3}$. Если же воспользоваться указанным в [9] значением изомерного сдвига $+685\,\mu\text{m/s}$, то оно приводит к соотношению (1). Отрицательный наклон прямой bна рис. 2 определенно указывает на противоположные знаки $\Delta R/R$ для $^{119}{\rm Sn}$ и $^{73}{\rm Ge.}$ В этом случае значение $\Delta R/R$ для ⁷³Ge следует признать равным $-1.9 \cdot 10^{-3}$.

Конфликт интересов

Авторы заявляют, что у них нет конфликта интересов.

Список литературы

- A.V. Kolobov, P. Fons, J. Tominaga, A.I. Frenkel,
 A.L. Ankudinov, T. Uruga, Nat. Mater., 3 (10), 703 (2004).
 DOI: 10.1038/nmat1215
- [2] D.A. Baker, M.A. Paesler, G. Lucovsky, S.C. Agarwal, P.C. Taylor, Phys. Rev. Lett., 96, 255501 (2006). DOI: 10.1103/PhysRevLett.96.255501
- [3] S. Caravati, M. Bernasconi, Appl. Phys. Lett., 91, 171906 (2007). DOI: 10.1063/1.2801626
- [4] Q. Liu, X.B. Li, L. Zhang, Y.Q. Cheng, Z.G. Yan, M. Xu, X.D. Han, S.B. Zhang, Z. Zhang, E. Ma, Phys. Rev. Lett., 106, 025501 (2011). DOI: 10.1103/PhysRevLett.106.025501
- [5] A. Bouzid, G. Ori, M. Boero, E. Lampin, C. Massobrio, Phys. Rev. B, 96, 224204 (2017).
 DOI: 10.1103/PhysRevB.96.224204
- [6] J.R. Stellhorn, S. Hosokawa, S. Kohara, Anal. Sci., 36, 5 (2020). DOI: 10.2116/analsci.19SAR02
- [7] А.В. Марченко, Е.И. Теруков, Ф.С. Насрединов, Ю.А. Петрушин, П.П. Серегин, ЖТФ, **92** (11), 1678 (2022). DOI: 10.21883/JTF.2022.11.53441.186-2 [A.V. Marchenko, E.I. Terukov, F.S. Nasredinov, Yu.A. Petrushin, P.P. Seregin, Tech. Phys., **68** (Suppl. I), 88 (2023). DOI: 10.1134/S1063784223090104].
- [8] L. Pfeiffer, T. Kovacs, Phys. Rev. B, 23, 5725 (1981).DOI: 10.1103/PhysRevB.23.5725
- [9] L. Pfeiffer, T. Kovacs, G.K. Celler, J.M. Gibson, M.E. Lines, Phys. Rev. B, 27, 4018 (1983).DOI: 10.1103/PhysRevB.27.4018
- [10] A. Svane, J. Phys. C, 21, 5369 (1988).DOI: 10.1088/0022-3719/21/31/008
- [11] А.Р. Регель, П.П. Серегин, ФТП, **18** (7), 1153 (1984). [A.R. Regel, P.P. Seregin, Sov. Phys. Semicond., **18**, 723 (1984).].